

УДК 629.7.062

**В.И. Конох, И.И. Калиниченко, И.Н. Гордиец, А.В. ШПАК**

*Государственное предприятие “Конструкторское бюро “Южное” им. М. К. Янгеля”*

## **ИССЛЕДОВАНИЕ РЕСУРСНЫХ ХАРАКТЕРИСТИК СИЛЬФОННОГО ПНЕВМОНАСОСНОГО АГРЕГАТА**

*Рассмотрен новый вариант пневмонасосного агрегата с беззатечным уплотнительным элементом – сильфоном для системы подачи топлива орбитальной ЖДУ, работающей на компонентах топлива АТ и ММГ (НДМГ), состоящей из маршевого двигателя тягой 40кгс и рулевых двигателей малой тяги и временем существования на орбите более 5 лет. Диапазон изменения суммарных расходов топлива составляет 100240 г/с. Определены основные геометрические характеристики пневмонасосного агрегата и жесткости сильфонов. Представлены результаты ресурсных испытаний разработанных сильфонов из нержавеющих сталей и фторопласта.*

**Ключевые слова:** двигательная установка, пневмонасосная система подачи, пневмонасос, сильфон.

### **Введение**

В настоящее время в жидкостных двигательных установках космических аппаратов широко применяется вытеснительная система подачи топлива. Она является наиболее простой и, следовательно, надежной, но обладает двумя принципиальными недостатками – топливные баки работают при высоких давлениях (обычно от 15 до 20 кгс/см<sup>2</sup>) и ЖРД имеют большой разброс тяги и соотношения компонентов топлива. Высокие давления в баках приводят к их переутяжелению, большие разбросы соотношения компонентов к увеличению гарантийных запасов топлива. С увеличением тяги или увеличением суммарного импульса тяги увеличиваются также и запасы компонентов топлива, а, следовательно, и баков. В этом случае вытеснительная система становится тяжелой и громоздкой. Турбонасосная система подачи значительно сложнее вытеснительной и ее применение целесообразно для двигателей с тягой более 1000 кгс.

В ГП «КБ «Южное» разработана и доведена до стадии летных испытаний новая система подачи топлива – пневмонасосная. Пневмонасосная система подачи занимает свою отдельную нишу (в зависимости от тяги двигательной установки) на стыке между вытеснительной и турбонасосной системами подачи компонентов топлива и однозначно превосходит по массовому совершенству вытеснительную.

### **1. Обзор публикаций и выделение нерешенных задач**

Масса, применяемых в настоящее время спутниковых платформ Spacebus, Eurostar,

Alphabus, составляет 5000-8000 кг, при этом заправка компонентами топлива колеблется в пределах 60-70% от общей массы. Орбитальная жидкостная двигательная установка такой платформы состоит из маршевого двигателя тягой ~40 кгс и рулевых двигателей малой тяги (РДМТ).

В настоящее время в ГП «КБ «Южное» ведутся работы по созданию орбитальной ЖДУ, работающей на компонентах топлива АТ и ММГ (НДМГ) и состоящей из маршевого двигателя тягой 40 кгс и рулевых двигателей малой тяги. Эта ЖДУ имеет запас топлива ~3000 кг, должна быть работоспособной на орбите в течение 5 лет и обеспечивать большое число включений (более 100) [1]. Исходя из тенденции улучшения характеристик спутниковых платформ, в качестве системы топливоподачи применена пневмонасосная. Типичная схема ЖДУ с пневмонасосной системой подачи приведена на рис 1. Она была разработана в 2004-2006 гг. ГП «КБ «Южный» для автономного космического буксира «Кречет» с орбитальной ДУ 802. В состав ДУ входят топливные баки окислителя и горючего, пневмоблок, камера маршевого двигателя, РДМТ, ПНА, газовый редуктор для наддува топливных баков и управляющая автоматика.

В 2014-2015 гг. были проведены ресурсные испытания уплотнительных элементов поршневого ПНА [2]. Недостатками контактных уплотнений возвратно поступательных пар являются износ и необеспечение полной герметичности, как при работе, так и во время длительного хранения. В последнее время в технике все большее применение в качестве уплотнительных элементов получили пла-

стинчатые сильфоны [3]. С целью улучшения ресурсных характеристик в несколько раз, для спутниковой ДУ был разработан ПНА, в котором в качестве подвижного уплотнительного элемента был использован пластинчатый сварной сильфон. Схема разработанного сильфонного ПНА приведена на рис. 2. Основные требования, предъявляемые к разрабатываемому ПНА, приведены в таблице 1.

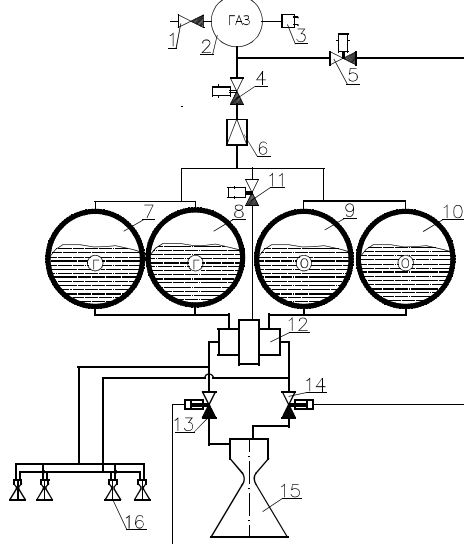


Рис. 1. ЖДУ с пневмонасосной системой подачи компонентов топлива:

1 - клапан заправки; 2 - баллон с гелием; 3 - сигнализатор давления; 4, 5, 11 - электропневмоклапан; 6 - газовый редуктор; 7, 8 - бак горючего; 9, 10 - бак окислителя; 12 - пневмонасосный агрегат; 13, 14 - гидроклапан; 15 - камера маршевого двигателя, 16 - рулевые двигатели малой тяги

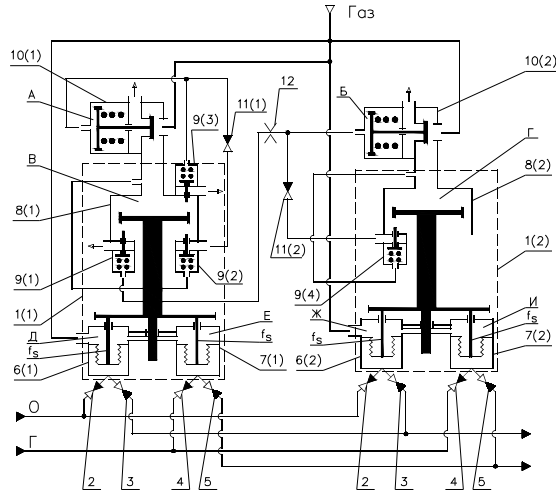


Рис. 2. Схема сильфонного ПНА:

1(1), 1(2) – насосный блок; 2 – обратный клапан по линии входа «О»; 3 – обратный клапан по линии выхода «О»; 4 – обратный клапан по линии входа «Г»; 5 – обратный клапан по линии выхода «Г»; 6(1), 6(2) – гидравлический насос «О»; 7(1), 7(2) – гидравлический насос «Г»; 8(1), 8(2) – пневмопривод; 9(1), 9(4) – концевой клапан; 10(1), 10(2) – пневмопределитель; 11(1), 11(2) – обратный клапан; 12 – жиклер; А, Б, В, Г, Д, Е, Ж, И – полость

Таблица 1  
Характеристики ПНА при работе в составе орбитальной ЖДУ

1	Рабочее тело пневмопривода	Гелий
2	Окислитель	АТ
3	Горючее	ММГ (НДМГ)
4	Номинальное абсолютное давление гелия на входе, кгс/см <sup>2</sup>	7
5	Диапазон температур гелия при различных режимах работы, К – при работе только РДМТ – при работе маршевого двигателя	273...323 323...373
6	Номинальное абсолютное давление топлива на входе, кгс/см <sup>2</sup> : – по линии окислителя – по линии горючего	7 7
7	Номинальное абсолютное давление топлива на выходе из ПНА, кгс/см <sup>2</sup> : – по линии окислителя – по линии горючего	17 17
8	Расходы компонентов топлива, кг/с – окислителя – горючего	0,062-0,150 0,038-0,090
9	Соотношение объемных расходов компонентов топлива	1

ПНА включает в себя гидравлические насосы окислителя 6(1) и 6(2) и горючего 7(1) и 7(2) объемного типа и объемные пневмоприводы 8(1) и 8(2), работающие на редуцированном гелии высокого давления от пневмоблока. ПНА содержит два насосных блока 1(1) и 1(2) с насосами, циклический режим работы каждого из блоков обеспечивается газовыми пневмопределителями 10(1) и 10(2), взаимодействующими с концевыми клапанами 9(1), 9(4) нажимного действия, которые размещаются в полостях пневмопривода.

Принцип работы данного ПНА следующий. В исходном положении под действием входного давления гидравлических насосов «О» и «Г» пневмопоршни находятся на упорах в днища полостей В и Г. После подачи давления гелия на входы в пневмопределители газ поступает в полости В и Г пневмоцилиндров и концевые клапаны 9(2) и 9(4). Пневмопоршни насосных блоков перемещаются вниз, воздействуют на сильфоны гидравлических насосов и осуществляют совместное питание потребителя компонентами топлива. Штоки концевых клапанов 9(2) и 9(3) выступают над днищами пневмоцилиндров на величину  $h$ , шток клапана 9(4) на величину  $2h$ , а клапана 9(1) – на величину  $4h$ .

Поэтому первым будет нажат концевой клапан 9(1), управляющая полость Б сообщается с окружающей средой, но ничего не произойдет, так как в ней не было управляющего давления и пневмораспределитель находится в открытом состоянии. Затем пневмопоршень нажимает на концевой клапан 9(4), в управляющую полость Б подается давление, пневмораспределитель 10(2) срабатывает и прекращается подача гелия в полость Г пневмопривода 9(2) и сообщает ее с окружающей средой. Начинается заправка насосного блока 1(2). После нажатия пневмопоршнем насосного блока 1(1) на концевой клапан 9(2) происходит подача давления в управляющую полость А пневмораспределителя 10(1). Пневмораспределитель срабатывает и прекращается подача гелия в полость В пневмопривода 8(1) и сообщает ее с окружающей средой. Начинается заправка насосного блока 1(1). При достижении пневмопоршнем концевого клапана 9(3) происходит сброс давления из управляющей полости А пневмораспределителя 9(1). Пневмораспределитель срабатывает и гелий поступает в полость В пневмопривода 8(1). Завершилась фаза запуска. Обратные клапаны 11(1) и 11(2) предотвращают сброс давления в управляющих полостях А и Б пневмораспределителей 10(1) и 10(2) в моменты сброса давления из полостей В и Г пневмоприводов 8(1) и 8(2). Далее схема работает в циклическом режиме:

- нажатие на концевой клапан 9(1) – открытие пневмораспределителя 10(2), вытеснение компонентов топлива из насосного блока 1(2);
- нажатие на концевой клапан 9(2) – закрытие пневмораспределителя 10(1), заправка насосного блока 1(1);
- нажатие на концевой клапан 9(3) – открытие пневмораспределителя 10(1), вытеснение компонентов топлива из насосного блока 1(1);
- нажатие на концевой клапан 9(4) – закрытие пневмораспределителя 10(2), заправка насосного блока 1(2);
- ожидание нажатия концевого клапана 9(1). Цикл замкнулся.

### 2. Постановка задачи данного исследования

Для обеспечения требуемого ресурса работы ПНА необходимо максимальное число срабатываний сильфонных элементов с сохранением полной герметичности как при работе ПНА, так и во время перерывов.

### 3. Изложение основного материала с обоснованием полученных научных результатов

Для определения диаметров сильфонов, расхода компонента вытесняемого за один такт, а также частоты работы насоса необходимо составить уравнение баланса сил и методом конечных приближений достичь удовлетво-

ряющих результатов.

Расчетная схема для составления уравнений баланса сил приведена на рис. 3.

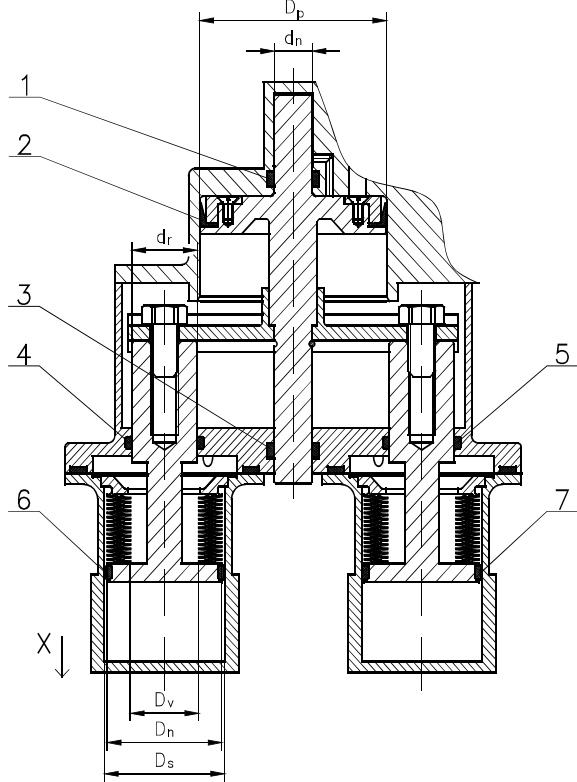


Рис. 3. Расчетная схема насосного блока:  
1, 3, 6, 7 - направляющее кольцо; 2 - манжета;  
4, 5 - резиновое кольцо

При расчете балансов сил насосного блока были приняты следующие допущения:

- при определении расходов компонентов топлива и давлений на выходе из насосных блоков, гидравлическое сопротивление трактов двигателя от выходов из насоса до огневого пространства камеры двигателя заменены постоянными жиклерами эквивалентного сопротивления;
- при изменении расходов компонентов топлива на выходе давления газа и компонентов топлива на входе приняты постоянными;
- жесткости и диаметры сильфонов насосных блоков окислителя и горючего одинаковы;
- в расчетах принято давление окружающей среды  $P_a = 0$ .

Уравнение баланса сил поршней с учетом сил трения и жесткости сильфона:

$$\left( P_{\text{gas}} - \Delta P_p^{\text{gas}} \right) \cdot S_p - \left( P_{\text{out\_i}}^{\text{Ox}} + \Delta P_{\text{out\_i}}^{\text{Ox}} + P_{\text{out\_i}}^{\text{Fu}} + \Delta P_{\text{out\_i}}^{\text{Fu}} \right) \times \\ \times S_{\text{ef}} + 2 \cdot P_{\text{gas}} \cdot (S_{\text{ef}} - S_r) \cdot F_{\text{fr}} + 2 \cdot F_{z\_s} = 0 \quad (1)$$

где  $P_{\text{gas}}$  – давление газа на входе в ПНА;

$\Delta P_p^{\text{gas}}$  – гидравлическое сопротивление газового тракта;

$P_{\text{out\_i}}^{\text{Ox}}$  – давление на выходе из насосного блока окислителя;

$P_{\text{out\_i}}^{\text{Fu}}$  – давление на выходе из насосного блока горючего;

$\Delta P_{\text{out\_i}}^{\text{Ox}}$  – гидросопротивление тракта насоса окислителя;

$\Delta P_{\text{out\_i}}^{\text{Fu}}$  – гидросопротивление тракта насоса горючего при изменении расхода;

$S_p = \frac{\pi}{4} \cdot D_p^2$  – площадь газового поршня;

$S_{\text{ef}} = \frac{\pi}{4} \cdot \left( \frac{D_n + D_v}{2} \right)^2$  – эффективная площадь сильфона;

$S_r = \frac{\pi}{4} \cdot d_r^2$  – площадь разгрузочного штока.

Усилие поджатия сильфона от хода определяется по формуле:

$$F_{z\_s} = F_{s\_f} - z_s \cdot x \quad (2)$$

где  $F_{s\_f}$  – усилие сжатия сильфона;

$z_s$  – жесткость сильфона [4];

$x$  – величина деформации сильфона.

Сила трения манжеты рассчитывают по формуле [5]:

$$Q_{\text{fluo}} = \pi \cdot D_p \cdot l_p \cdot \left( P_{\text{gas}} - \Delta P_p^{\text{gas}} + q_{\text{fluo}} \right) f_{\text{fluo}}, \quad (3)$$

Сила трения в направляющих кольцах определяется по формуле:

$$Q_{\text{fluo\_n}} = \pi \cdot D_p \cdot l_{p\_n} \cdot q_{\text{fluo}} \cdot f_{\text{fluo}} \cdot n, \quad (4)$$

где  $D_p$  – диаметр уплотняемой поверхности;

$l_p$  – ширина рабочей части манжеты;

$l_{p\_n}$  – ширина рабочей части направляющего кольца;

$P$  – давление в полости;

$q_{\text{fluo}}$  – контактное давление, возникающее от деформации усов манжеты при ее монтаже;

$f_{\text{fluo}}$  – коэффициент трения.

Сила трения резинового кольца определяется по формуле:

$$F_{\text{fr}}^i = F_{\text{fr1}}^i + F_{\text{fr2}}^i, \quad (5)$$

где  $F_{\text{fr1}}^i = \pi \cdot d \cdot Q_1$  – сила трения кольца, определяющаяся относительным сжатием;

$F_{\text{fr2}}^i = \frac{\pi \cdot Q_h}{4} \cdot (D^2 - d^2)$  – сила трения от нагружения кольца давлением;

$d$  – внутренний диаметр кольца;

$D$  – наружный диаметр кольца;

$Q_1$  – коэффициент, зависящий от монтажного натяга и твердости резины;

$Q_h$  – коэффициент, зависящий от давления в полости.

Суммарная сила трения в подвижных элементах насосного блока:

$$F_{\text{fr}} = Q_{\text{fluo}} + Q_{\text{fluo\_n}} + F_{\text{fr}}^i, \quad (6)$$

Расход, обеспечивающийся сильфоном, рассчитывается по формуле:

$$\dot{m}_{\Gamma,O} = \rho_{\Gamma,O} \cdot S_{\text{ef}} \cdot \frac{dx}{dt}, \quad (7)$$

где  $\frac{dx}{dt}$  – скорость перемещения диска сильфона;

$\rho_{\Gamma,O}$  – плотность компонента.

Изучив существующие типы сильфонов, за прототип был выбран сильфон, обеспечивающий наши требования (габаритные размеры, жесткость и циклопрочность) – сильфон стальной пластинчатый [3], [6], [7].

После проведения предварительных расчетов и определения конструкции ПНА были определены основные габаритные размеры элементов ПНА, которые приведены в таблице 2.

Таблица 2  
Габаритные размеры элементов ПНА

№	Параметр	Сильфон №1	Сильфон №2	Сильфон №3
1	Эффективная площадь сильфона, $\text{см}^2$	4,51	5,58	10,18
2	Площадь газового поршня, $\text{см}^2$	21,23	25,52	51,53
3	Величина деформации сильфона, мм	18	18	10
4	Частота срабатывания каждого насосного блока, Гц	6,5	5,15	5,15

Для изготовления мембран сильфонов использованы следующие стали и типы сварки: сильфон №1 – иностранного производства выполнен из стали 06Х18Н10Т, тип свар-

ки – лазерная [8]; сильфон №2 – производства ГП «КБ «Южное» выполнен из стали 12Х18Н10Т, тип сварки – микроплазменная; сильфон №3 – производства ГП «КБ «Южное» выполнен из стали 06Х18Н10Т, тип сварки – микроплазменная.

Данные стали обладают хорошей прочностью и достаточной пластичностью, а также коррозионностойкие в агрессивной среде компонента.

Конструкция пластинчатых сильфонов приведена на рис. 4.

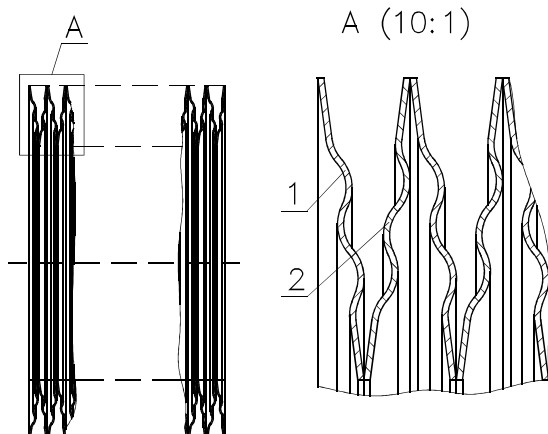


Рис. 4. Сильфон:  
1, 2 – мембрана

Для данных сильфонов, используя математические зависимости и методики Андреевой Л.Е. [4] и методы программного расчета программы «ANSYS», был проведен прочностной расчет. Результаты расчетной и экспериментальной величины жесткости сильфонов занесены в таблицу 3.

Решение приведенной выше системы уравнений проводилось для одного режима работы, при номинальных расходах горючего  $m_f = 90 \text{ г/с}$  и окислителя  $m_o = 150 \text{ г/с}$ , с учетом экспериментальной зависимости усилия поджатия сильфона от хода. На рис. 5 приведен рабочий процесс, полученный расчетным путем. Проведем анализ этого рабочего процесса.

Таблица 3  
Жесткость сильфона

Сильфон	Жесткость, кгс/мм	
	Экспериментальная величина	Расчетная величина
№1, 28гофр	0,21...0,23	0,21...0,53
№2, 30гофр	0,35...0,36	0,277...0,529
№2, 25гофр	0,42...0,43	0,333...0,635
№3, 15гофр	0,75...0,76	0,597...0,895
№3, 20гофр	0,72...0,73	0,448...0,672

Как видно из рис. 5, основным фактором, оказывающим влияние на работу двигателя, является постепенное снижение величины расхода и давления в магистрали нагнетания. Это объясняется влиянием на выходные характеристики ПНА жесткости сильфона.

Расчетные величины снижения расхода окислителя и горючего для всех типоразмеров сильфонов колеблются от 1% до 3% и давления на выходе от 2,5% до 5% от номинальных величин и практически не сказываются на характеристиках ПНА. Однако стоит заметить, что по сравнению с поршневым ПНА для ДУ 802 [9], в котором провалы давления компонента на выходе составляли от 6% до 8%, сильфонный ПНА позволяет уменьшить величины провалов и их длительность примерно в 2 раза.

Основными трудностями обеспечения большого ресурса работы сильфонного ПНА

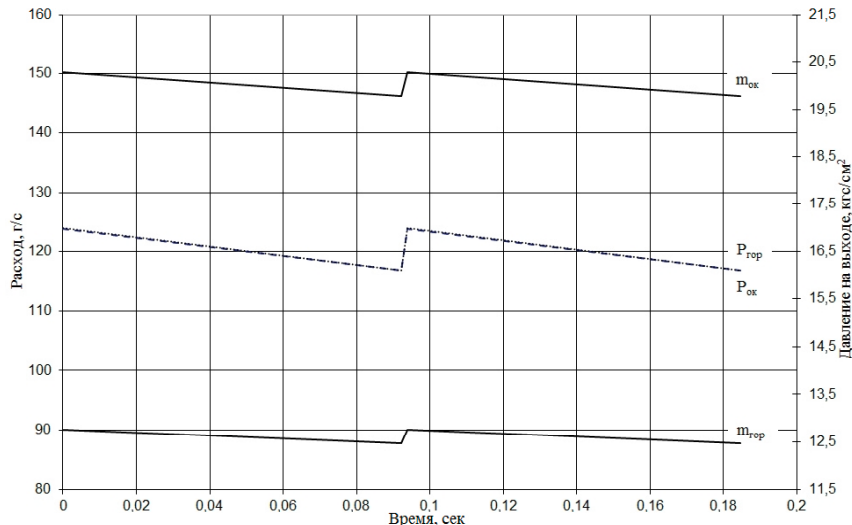
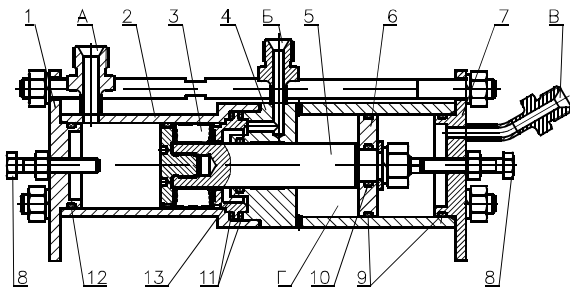


Рис. 5. Расчетный рабочий процесс сильфонного ПНА

являются следующие требования к подвижным уплотнительным элементам:

- обеспечение герметичности с учетом условий работы ПНА;
- минимальная жесткость сильфонных элементов;
- высокая циклопрочность мембран;
- минимальные габаритные размеры;
- длительная стойкость в агрессивных компонентах топлива.

Экспериментальная отработка сильфонов в составе ПНА не рациональна, поэтому для определения ресурсных характеристик сильфонов был изготовлен имитатор, в котором условия работы сильфонов максимально приближены к эксплуатационным. Однако рабочим телом гидравлического насоса была вода, а пневмопривод работал на воздухе вместо гелия. Приспособление для определения количества срабатываний сильфона приведено на рис. 6.



**Рис. 6.** Приспособление для ресурсных испытаний  
1, 7 – крышка; 2, 4 – корпус; 3 – коробка сильфонная;  
5 – шток; 6 – диск; 8 – винт настроечный;  
9, 10, 11, 12, 13 – кольцо; А, Б, В – полость

Была, расчетным путем, получена циклопрочность сильфонов.

В результате расчета с использованием методики программы «ANSYS» циклопрочность сильфона №2 с 25 гофрами – 27550 срабатываний; сильфона №2 с 30 гофрами – 31710 срабатываний.

Несмотря на столь многообещающие результаты расчетов, результаты экспериментальной отработки оказались не столь впечатляющими. Результаты ресурсных испытаний приведены в таблице 4.

При частоте срабатывания (5,156,5) Гц и ходе сильфонной коробки (1018) мм циклопрочность сильфона значительно уменьшилась. Предположительно, это происходило из-за довольно высокой частоты работы. Также при сварке, в околовшовных зонах при температурах  $\sim 650^{\circ}\text{C}$ , возможно образование карбидных зерен толщиной до 0,1 мм, о чем свидетельствует характер разрушения сильфона, приведенный на рис. 7.

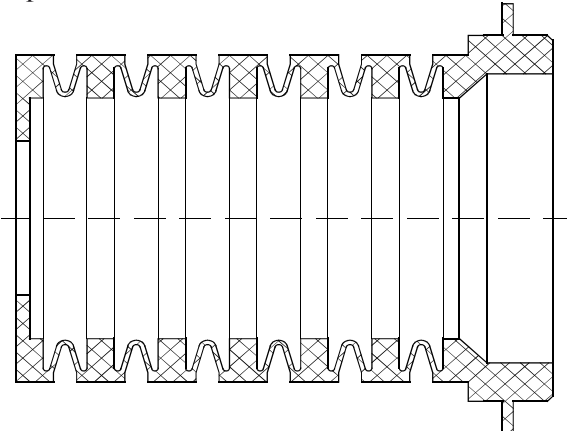
Таблица 4  
Результаты ресурсных испытаний

Сильфон	Ход одной мембранны, мм	Максимальное количество срабатываний, шт.	Перепад на сильфоне, кгс/см <sup>2</sup>
№1, 28гофр	0,32	720	2
№2, 30гофр	0,3	480	2
№2, 25гофр	0,36	270	10
№3, 15гофр	0,33	3800	10
№3, 20гофр	0,25	5200	2



**Рис. 7.** Сильфон после испытаний

Для увеличения циклопрочности ПНА была изготовлена фторопластовая, точенная сильфонная коробка с ходом 14,4 мм и эффективной площадью  $S_{\text{ef}} = 6,84 \text{ см}^2$ . На рис. 8 приведена конструкция фторопластовой сильфонной коробки.



**Рис. 8.** Фторопластовая сильфонная коробка

Условия проведения ресурсных испытаний фторопластовых сильфонных коробок соответствовали условиям для сварных сильфонов, перепад на сильфоне для фторопластовой сильфонной коробки был равен 2 кгс/см<sup>2</sup>.

Оценка величин жесткости и циклопрочности фторопластовой сильфонной коробки

не проводилась из-за отсутствия методик. Экспериментальная величина жесткости сильфона составила  $\sim 0,02$  кгс/мм, а экспериментальная величина циклопрочности -  $\sim 55000$  срабатываний, после чего эксперимент был остановлен. Негерметичности после проведения испытания обнаружено не было.

### Выводы

В результате проведенных исследований получены расчетные и экспериментальные величины жесткости сильфонов. Определен ресурс работы сильфонов при повышенных частотах работы и высоких ходах мембран. Выбран размер сильфона, обеспечивающий приемлемые габаритно-массовые характеристики ПНА. Разработан и отработан новый тип сильфона. Ведутся работы по увеличению перепада на фторопластовой сильфонной коробке до  $10$  кгс/см $^2$ .

### Литература

1. Двухкомпонентная жидкостная двигательная установка космического аппарата с пневмонасосной системой подачи [Текст] / В. Н. Шнякин, В. А. Шульга, В. И. Конох [и др.] // Авиационно-космическая техника и технология. – 2010. – № 9 (76). – С.159-163.

2. Разработка уплотнительных элементов для обеспечения ресурсных характеристик пневмонасосного агрегата [Текст] / В. И. Конох, И. И. Калиниченко, И. Н. Гордиец [и др.]

// Авиационно-космическая техника и технология. – 2015. – № 7 (124). – С.131-136.

3. Басыров В. С. Пластинчатые сильфоны - новое слово в уплотнительной технике [Текст] / В. С. Басыров // АрматуроСтроение. – 2014. - №1 (88). – С.51-52.

4. Андреева Л. Е. Упругие элементы приборов [Текст] / Л. Е. Андреева. - М. : Машгиз, 1962. – 456 с.

5. Абрамов Е. И. Элементы гидропривода [Текст] : справочник / Е. И. Абрамов, К. А. Колесниченко, В. Т. Маслов. – К. : Техника, 1977. – 320 с.

6. Каталог сильфонной продукции [Текст]: каталог / Саранский приборостроительный завод – Саранск : АО СПЗ, 2015. – 31 с.

7. IWAKI [Електронний ресурс] / IWAKI Co., Ltd // Режим доступа: [www.iwakipumps.jp/en/products](http://www.iwakipumps.jp/en/products) - 2014.

8. Circular bellows [Електронний ресурс] / Space solutions Co., Ltd // Режим доступа : [www.spacesolutions.co.kr/html/location.php?depth=product/product&seq\\_pc1=6](http://www.spacesolutions.co.kr/html/location.php?depth=product/product&seq_pc1=6) – 2014.

9. Особенности математического моделирования рабочих процессов в источниках гидравлической мощности с пневматическим приводом [Текст] / В. И. Конох, И. И. Калиниченко, И. Н. Гордиец [и др.] // Авиационно-космическая техника и технология. – 2012. - № 9 (96). – С. 163-168.

Поступила в редакцию 12.05.2016

**В.І. Конох, І.І. Калініченко, І.М. Гордієць, А.В. Шпак. Дослідження ресурсних характеристик сильфонного пневмонасосного агрегату**

*Розглянуто новий варіант пневмонасосного агрегату з безвітічним ущільнюючим елементом - сильфоном для системи подачі палива орбітальної ДУ, яка працює на компонентах палива АТ і ММГ (НДМГ) та складається з маршевого двигуна тягою 40 кгс та рульових двигунів малої тяги та часом існування на орбіті більш 5 років. Діапазон змінення сумарних витрат компонентів палива складає 100...240 г/с. Визначені основні геометричні характеристики пневмонасосного агрегату та жорсткості сильфонів. Подані результати ресурсних випробувань розроблених сильфонів з нержавіючої сталі та фторопласти.*

**Ключові слова:** двигунна установка, пневмонасосна система постачання, пневмонасос, сильфон.

**V.I. Konokh, I.I. Kalinichenko, I.N. Gordiets, A.V. Shpak. Bellows-type pneumo-pump unit service life characteristics research**

*New alternative design of pneumo-pump unit with absolute pressure-tight sealing element is presented – bellows for fuel supply system of 5-years orbital lifetime LRE, which operates with NTO and UDMH propellants and consists of cruise engine having 40 kgf thrust and low-thrust control engines. Total fuel consumption range is from 100 to 240 g/s. Main geometric characteristics of pneumo-pump unit as well as the bellows stiffness are defined. The results of service life test of developed bellows made of stainless steels and fluoroplastic were presented.*

**Key words:** propulsion system, pneumo-pump feed system, pneumo-pump unit, bellows.